

## เอกสารอ้างอิง

- ชัชวาล ศุภเกษย์. *AutoCAD 2010 ฉบับสมบูรณ์: เที่ยบแบบงานวิศวกรรมและสถาปัตย์*. พิมพ์ครั้งที่ 1. กรุงเทพฯ : จีเอ็คьюเคชั่น, 2552.
- ธนานินท์ ศิลป์จารุ. การวิจัยและวิเคราะห์ข้อมูลทางสถิติด้วย SPSS. พิมพ์ครั้งที่ 10. กรุงเทพฯ: บีส ชีนஸอร์แอนด์ดี, 2552.
- Albanese J, Eklics G, Tuck A. A metric method for sex determination using the proximal femur and fragmentary hipbone. *J Forensic Sci.* 2008; 53(6):1283-1288.
- Barrio PA, Tranco GJ, Sanchez JA. Metacarpal Sexual Determination in a Spanish Population. *J Forensic Sci.* 2006; 51(5):990-995.
- Benazzi S, Maestri C, Parisini S, Vecchi F, Gruppioni G. Sex Assessment from the sacral base by means of image processing. *J Forensic Sci.* 2009; 54(2):249-254.
- Bigoni L, Veleminska J, Bruzek J. Three-dimensional geometric morphometric analysis of crano-facial sexual dimorphism in a Central European sample of known sex. *Homo.* 2010; 61(1):16-32.
- Buikstra JE, Ubelaker DH. Standards for Data Collection from Human Skeletal Remains. Research series, no. 44. Arkansas Archaeological Survey. Fayetteville, 1994.
- Bytheway JA, Ross AH. A geometric morphometric approach to sex determination of the human adult os coxa. *J Forensic Sci.* 2010; 55(4):859-864.
- Camargo JR, Daruge E, Prado FB, Caria PHF, Alves MC, Silva RF, et al. The frontal sinus morphology in radiographs of Brazilian subjects: its forensic importance. *Braz J Morphol Sci.* 2007; 24(4):239-243.
- Celbis O, Iscan MY, Soysal Z, Cagdir S. Sexual diagnosis of the glabella region. *Legal Med J.* 2001; 3:162-170.

- Dayal MR, Spocter MA, Bidmos MA. An assessment of sex using the skull of black South Africans by discriminant function analysis. *Homo*. 2008; 59(3):209-221.
- Deshmukh AG, Devershi DB. Comparison of Cranial Sex Determination by Univariate and Multivariate Analysis. *J Anat Soc India*. 2006; 55(2):48-51.
- De Paiva LA, Segre M. Sexing the human skull through the mastoid process. *Rev Hosp Clin*. 2003; 58(1):15-20.
- De Sousa EB, Fernandes RMP, Mathias MB, Rodrigues MR, Ambram AJ, Babinski MA. Morphometric study of the proximal femur extremity in Brazilians. *Int J Morphol*. 2010; 28(3):835-840.
- Dorsey GA. Wormian bones in artificially deformed Kwakiutl cranial. *Am. Anthropol*. 1897; 10(6): 169-173.
- Duric M, Rakocevic Z, Donic D. The reliability of sex determination of skeletons from forensic context in the Balkans. *Forensic Sci Int*. 2005; 147(2-3):159-164.
- Elena FK, Iscan MY, Manolis M. Craniometric analysis of the modern Cretan population. *Forensic Sci Int*. 2008; 180(2):110.e1-e5.
- Frank R, Mattias K, Axel G, Verhoff MA. Digital forensic osteology: Morphological sexing of skeletal remains using volume-rendered cranial CT scans. *Forensic Sci Int*. 2010; 195(1):148-152.
- Franklin D, Freedman L, Milne N. Sexual dimorphism and discriminant function sexing in indigenous South African crania. *Homo*. 2005; 55(3):213-228.
- Gapert R, Black S, Last J. Sex determination from the foramen magnum: discriminant function analysis in an eighteenth and nineteenth century British sample. *Int J Legal Med*. 2009; 123(1):25-33.
- Galdames ICS, Russo P, Matamala DAZ, Smith RL. Sexual dimorphism in the foramen magnum dimensions. *Int J Morphol*. 2009; 27(1):21-23.
- Gonzalez PN, Bernal V, Perez SI, Barrientos G. Analysis of dimorphic structures of the human pelvis: its implications for sex estimation in samples without reference collections. *J Archaeol Sci*. 2007; 34(10):1720-1730.
- Gonzalez PN, Bernal V, Perez SI. Geometric morphometric approach to sex estimation of human pelvis. *Forensic Sci Int*. 2009; 189(1-3):68-74.

- Gray H. Anatomy of the human body. 27<sup>ed</sup>. Philadelphia: Lea & Febiger, 1918.
- Green H, Curnoe D. Sexual dimorphism in Southeast Asian crania: A geometric morphometric approach. *Homo*. 2009; 60(6):517-534.
- Gualdi-Russo E. Sex determination from the talus and calcaneus measurements. *Forensic Sci Int*. 2007; 171(2-3):151-156.
- Guyton AC, Hall JE. Textbook of medical physiology. 9<sup>th</sup> ed. Philadelphia: Saunders, 1996.
- Harnsiriwattanakit K. and Sudwan P. Sex determination from the Thai foramen magnum and occipital condyle. Poster 224, the 17<sup>th</sup> Congress of the International Federation of Associations of Anatomists (IFAA), South Africa, 2009.
- Jorgensen JB. Anthropometric and anthroposcopic technique. Copenhagen: Kobehavn, 1968:10-15.
- Kemkes-Grottenthaler A. Sex determination by discriminant analysis: an evaluation of the reliability of patella measurements. *Forensic Sci Int*. 2005; 147(2):129-133.
- Kranioti EF, Bastir M, Sanchez-Meseguer A, Rosas A. A geometric-morphometric study of the cretan humerus for sex identification. *Forensic Sci Int*. 2009; 189(1-3):111.e1-e8.
- Kranioti EF, Iscan MY, Michalodimitrakis M. Craniometric analysis of the modern Cretan population. *Forensic Sci Int*. 2008; 180(2-3):110.e1-.e5.
- Kreike J, Lehner A. Sex determination and DNA competition in the analysis of forensic mixed stains by PCR. *Int J Legal Med*. 1995; 107(5):235-238.
- Krogman WM, Iscan MY. The human skeleton in forensic medicine. Springfield:Charles C. Thomas Publisher, 1986.
- Lynnerup N. Cranial thickness in relation to age, sex and general body build in a Danish forensic sample. *Forensic Sci Int*. 2001; 117(1-2):45-51.
- Macaluso PJ. Metric sex determination from the basal region of the occipital bone in a documented french sample. *Bulletins et Mémoires de la Société d'anthropologie de Paris*. 2010:1-8.

- Manoel C, Prado F, Caria P, Groppo F. Morphometric analysis of the foramen magnum in human skulls of brazilian individuals: its relation to gender. *Braz J Morphol Sci.* 2009; 26(2):104-108.
- Martin R, Knussman R. *Anthropologie: Handbuch Der Vergleichenden Biologie Des Menschen.* Gustav Fischer Verlag, Stuttgart. 1988.
- Matamala DAZ, Galdames ICS, Smith RL. Sexual dimorphism determination from the lineal dimensions of skulls. *Int J Morphol.* 2009; 27(1):133-137.
- Moore KL, AF Dalley II. *Clinically Oriented Anatomy.* 4<sup>th</sup> Edition. Lippincott William Sand wilkuns, USA. 1999.
- Naikmasur VG, Shrivastava R, Mutualik S. Determination of sex in South Indians and immigrant Tibetans from cephalometric analysis and discriminant functions. *Forensic Sci Int.* 2010;197(1-3):122.e1-.e6.
- Nambiar P, Naidu MDK, Subramaniam K. Anatomical variability of the frontal sinuses and their application in forensic identification. *Clinical Anatomy.* 1999; 12(1):16-19.
- Ongkana N, Sudwan P. Gender difference in thai mandibles using metric analysis. *Chiang Mai Med J.* 2009; 48(2):43-48.
- Patil KR, Mody RN. Determination of the sex by discriminant function analysis and stature by regression analysis:a ateral cephalometric study. *Forensic Sci Int.* 2005; 147(2-3):175-180.
- Patriquin ML, Steyn M, Loth SR. Metric analysis of sex differences in South African black and white pelvis. *Forensic Sci Int.* 2005; 147(2-3):119-127.
- Robinson MS, Bidmos MA. The skull and humerus in the determination of sex: Reliability of discriminant function equations. *Forensic Sci Int.* 2009;186(1-3):86.e1-.e5.
- Rogers TL. Sex determination of adolescent skeletons using the distal humerus. *Am J Phys Anthropol.* 2009; 140(1):143-148.
- Sangvichien S, Boonkaew K, Chauncharunee A, Komoltri C, Udom C, Chandee T. Accuracy of cranial and mandible morphological traits for sex determination in Thais. *Siriraj Med J.* 2008; 60(5):240-243.
- Scholtz Y, Steyn M, Pretorius E. A geometric morphometric study into the sexual dimorphism of the human scapula. *Homo.* 2010; 61(4):253-270.

- Seiji F, Moreira RS, De Angelis MA, Smith Chairman RL. Orbital asymmetry in development: An anatomical study. *Orbit*. 2009; 28(6):342-346.
- Steyn M, Iscan MY. Sex determination from the femur and tibia in South African whites. *Forensic Sci Int*. 1997; 90(1-2):111-119.
- Steyn M, Iscan MY. Sexual dimorphism in the crania and mandibles of South African whites. *Forensic Sci Int*. 1998; 98(1):9-16.
- Steyn M, Iscan MY. Metric sex determination from the pelvis in modern Greeks. *Forensic Sci Int*. 2008; 179(1):86.e1-e6.
- Steyn M, Patriquin ML. Osteometric sex determination from the pelvis-Does population specificity matter? *Forensic Sci Int*. 2008; 179(1):86.e1-e6.
- Williams BA, Rogers T. Evaluating the Accuracy and Precision of Cranial Morphological Traits for Sex Determination. *J Forensic Sci*. 2006; 51(4):729-735.



ภาคผนวก

ແນບຜ່ອມກາງເກີນຂອງຄວາມຮັດໂຫລດຕົວຮະ (Skull's data)

AutoCAD		Digital vernier caliper	
ຊື່	ນາມສະກຸນ	ຊື່	ນາມສະກຸນ
Age		OrH	
Sex		D-Ec	
No.		ENOH	
Altitude		NL	
		M48	
		17a	
		M29	
		M26	
		Zy-Zy	
		APMH	
		ENOH	
		NL	
		M48	
		17a	
		M29	
		M26	
		Zy-Zy	
		APMH	
		ENOH	
		NL	
		M48	
		17a	
		M29	
		M26	
		Zy-Zy	
		APMH	
		ENOH	
		NL	
		M48	
		17a	
		M29	
		M26	
		Zy-Zy	
		APMH	
		ENOH	
		NL	
		M48	
		17a	
		M29	
		M26	
		Zy-Zy	
		APMH	
		ENOH	
		NL	
		M48	
		17a	
		M29	
		M26	
		Zy-Zy	
		APMH	
		ENOH	
		NL	
		M48	
		17a	
		M29	
		M26	
		Zy-Zy	
		APMH	
		ENOH	
		NL	
		M48	
		17a	
		M29	
		M26	
		Zy-Zy	
		APMH	
		ENOH	
		NL	
		M48	
		17a	
		M29	
		M26	
		Zy-Zy	
		APMH	
		ENOH	
		NL	
		M48	
		17a	
		M29	
		M26	
		Zy-Zy	
		APMH	
		ENOH	
		NL	
		M48	
		17a	
		M29	
		M26	
		Zy-Zy	
		APMH	
		ENOH	
		NL	
		M48	
		17a	
		M29	
		M26	
		Zy-Zy	
		APMH	
		ENOH	
		NL	
		M48	
		17a	
		M29	
		M26	
		Zy-Zy	
		APMH	
		ENOH	
		NL	
		M48	
		17a	
		M29	
		M26	
		Zy-Zy	
		APMH	
		ENOH	
		NL	
		M48	
		17a	
		M29	
		M26	
		Zy-Zy	
		APMH	
		ENOH	
		NL	
		M48	
		17a	
		M29	
		M26	
		Zy-Zy	
		APMH	
		ENOH	
		NL	
		M48	
		17a	
		M29	
		M26	
		Zy-Zy	
		APMH	
		ENOH	
		NL	
		M48	
		17a	
		M29	
		M26	
		Zy-Zy	
		APMH	
		ENOH	
		NL	
		M48	
		17a	
		M29	
		M26	
		Zy-Zy	
		APMH	
		ENOH	
		NL	
		M48	
		17a	
		M29	
		M26	
		Zy-Zy	
		APMH	
		ENOH	
		NL	
		M48	
		17a	
		M29	
		M26	
		Zy-Zy	
		APMH	
		ENOH	
		NL	
		M48	
		17a	
		M29	
		M26	
		Zy-Zy	
		APMH	
		ENOH	
		NL	
		M48	
		17a	
		M29	
		M26	
		Zy-Zy	
		APMH	
		ENOH	
		NL	
		M48	
		17a	
		M29	
		M26	
		Zy-Zy	
		APMH	
		ENOH	
		NL	
		M48	
		17a	
		M29	
		M26	
		Zy-Zy	
		APMH	
		ENOH	
		NL	
		M48	
		17a	
		M29	
		M26	
		Zy-Zy	
		APMH	
		ENOH	
		NL	
		M48	
		17a	
		M29	
		M26	
		Zy-Zy	
		APMH	
		ENOH	
		NL	
		M48	
		17a	
		M29	
		M26	
		Zy-Zy	
		APMH	
		ENOH	
		NL	
		M48	
		17a	
		M29	
		M26	
		Zy-Zy	
		APMH	
		ENOH	
		NL	
		M48	
		17a	
		M29	
		M26	
		Zy-Zy	
		APMH	
		ENOH	
		NL	
		M48	
		17a	
		M29	
		M26	
		Zy-Zy	
		APMH	
		ENOH	
		NL	
		M48	
		17a	
		M29	
		M26	
		Zy-Zy	
		APMH	
		ENOH	
		NL	
		M48	
		17a	
		M29	
		M26	
		Zy-Zy	
		APMH	
		ENOH	
		NL	
		M48	
		17a	
		M29	
		M26	
		Zy-Zy	
		APMH	
		ENOH	
		NL	
		M48	
		17a	
		M29	
		M26	
		Zy-Zy	
		APMH	
		ENOH	
		NL	
		M48	
		17a	
		M29	
		M26	
		Zy-Zy	
		APMH	
		ENOH	
		NL	
		M48	
		17a	
		M29	
		M26	
		Zy-Zy	
		APMH	
		ENOH	
		NL	
		M48	
		17a	
		M29	
		M26	
		Zy-Zy	
		APMH	
		ENOH	
		NL	
		M48	
		17a	
		M29	
		M26	
		Zy-Zy	
		APMH	
		ENOH	
		NL	
		M48	
		17a	
		M29	
		M26	
		Zy-Zy	
		APMH	
		ENOH	
		NL	
		M48	
		17a	
		M29	
		M26	
		Zy-Zy	
		APMH	
		ENOH	
		NL	
		M48	
		17a	
		M29	
		M26	
		Zy-Zy	
		APMH	
		ENOH	
		NL	
		M48	
		17a	
		M29	
		M26	
		Zy-Zy	
		APMH	
		ENOH	
		NL	
		M48	
		17a	
		M29	
		M26	
		Zy-Zy	
		APMH	
		ENOH	
		NL	
		M48	
		17a	
		M29	
		M26	
		Zy-Zy	
		APMH	
		ENOH	
		NL	
		M48	
		17a	
		M29	
		M26	
		Zy-Zy	
		APMH	
		ENOH	
		NL	
		M48	
		17a	
		M29	
		M26	
		Zy-Zy	
		APMH	
		ENOH	
		NL	
		M48	
		17a	
		M29	
		M26	
		Zy-Zy	
		APMH	
		ENOH	
		NL	
		M48	
		17a	
		M29	
		M26	
		Zy-Zy	
		APMH	
		ENOH	
		NL	
		M48	
		17a	
		M29	
		M26	
		Zy-Zy	
		APMH	
		ENOH	
		NL	
		M48	
		17a	
		M29	
		M26	
		Zy-Zy	
		APMH	
		ENOH	
		NL	
		M48	
		17a	
		M29	
		M26	
		Zy-Zy	
		APMH	
		ENOH	
		NL	
		M48	
		17a	
		M29	
		M26	
		Zy-Zy	
		APMH	
		ENOH	
		NL	
		M48	
		17a	
		M29	
		M26	
		Zy-Zy	
		APMH	
		ENOH	
		NL	
		M48	
		17a	
		M29	
		M26	
		Zy-Zy	
		APMH	
		ENOH	
		NL	
		M48	
		17a	
		M29	
		M26	
		Zy-Zy	
		APMH	
		ENOH	
		NL	
		M48	
		17a	
		M29	
		M26	
		Zy-Zy	
		APMH	
		ENOH	
		NL	
		M48	
		17a	
		M29	
		M26	
		Zy-Zy	
		APMH	
		ENOH	
		NL	
		M48	
		17a	
		M29	
		M26	
		Zy-Zy	
		APMH	
		ENOH	
		NL	
		M48	
		17a	
		M29	
		M26	
		Zy-Zy	
		APMH	
		ENOH	
		NL	
		M48	
		17a	
		M29	
		M26	
		Zy-Zy	
		APMH	
		ENOH	
		NL	
		M48	

## ການພູມວັດ ຂ

### Serial number ການໃຊ້ໂປຣແກຣມ AutoCAD 2010

The screenshot shows the Autodesk Education Community website. At the top, there is a navigation bar with links: Home, Get Software, Support, Learn, Design Showcase, Sustainability, Competitions, Careers, Community, and Invite. Below the navigation bar, a banner for "Autodesk BIM for Architecture, Engineering, and Construction Management" is displayed, featuring a 3D rendering of a bridge or dam. A "Learn More" button is visible. On the left side, there is a sidebar with user profile information for "Toonleasai Thaunthong Chiang Mai University". The main content area shows the download page for "AutoCAD 2010 (English) 32-Bit". It includes the product image, serial number details (Serial Number: 356-25XXX155, Product Key: 001B1), and a note to click "run" or "open" to start the installer. There is also a "Try reopening it" link. To the right, there is a "Learning and Support" section with links to "Support and Documentation" (AutoCAD Installation Guide, AutoCAD Support, AutoCAD Documentation, AutoCAD Discussion Groups) and "Tutorials and Learning Materials" (AutoCAD Interactive Overview, AutoCAD Features, AutoCAD Tutorials, AutoCAD Learning Path). A "SHARE" button is located above the documentation links.

## ประวัติผู้เขียน

ชื่อ-สกุล	นางสาวศุลนาณ ทวนธง
วัน เดือน ปีเกิด	28 กุมภาพันธ์ 2527
ประวัติการศึกษา	สำเร็จการศึกษาระดับประถมศึกษาจาก ร.ร.วัดคุย่าง จ.กำแพงเพชร สำเร็จการศึกษาระดับมัธยมศึกษาจาก ร.ร.กำแพงเพชรพิทยาคม จ.กำแพงเพชร สำเร็จการศึกษาระดับปริญญาตรี พยาบาลศาสตรบัณฑิต มหาวิทยาลัยเชียงใหม่ 2549
ผลงานวิชาการ	ศุลนาณ ทวนธง และ ไพรรรณ สุดวรรค์. การระบุเพศจากค่าพารามิเตอร์ที่สัมพันธ์กับกระดูกหน้าผากของคนไทยด้วยวิธีการวัด. นำเสนอผลงานวิจัยในรูปแบบบรรยาย (Oral Presentation) ในการประชุมวิชาการเสนอผลงานวิจัยระดับบัณฑิตศึกษาแห่งชาติครั้งที่ 23 “บัณฑิตศึกษาไทยสู่ประชาคมอาเซียน” ณ มหาวิทยาลัยเทคโนโลยีราชมงคลอีสาน วันที่ 23-24 ธันวาคม 2554 จังหวัดนครราชสีมา. 2554

# ผลงานเสนอต่อที่ประชุมวิชาการที่มีรายงานการประชุม (Proceedings)



การประชุมวิชาการเผยแพร่ผลงานวิจัยระดับบัณฑิตศึกษาแห่งชาติครั้งที่ 23  
ณ มหาวิทยาลัยเทคโนโลยีราชมงคลธัญบุรี ระหว่างวันที่ 23-24 ธันวาคม 2564

การระบุเพศจากค่าพารามิเตอร์ที่สัมพันธ์กับกระดูกหน้าผากของคนไทยด้วยวิธีการวัด

**Sex determination of the parameters related to the frontal bone of Thai people by measurement**

อุดมเดช ทวนธน และ ไพบูลย์ สุคุวรรณ\*

ภาควิชาภาษาอังกฤษศาสตร์ คณะมนุษยศาสตร์ มหาวิทยาลัยดังเด่น ช.ร.เชียงใหม่ 50200

\*Corresponding author. E-mail: pasudwan@med.cmu.ac.th

## บทคัดย่อ

งานวิจัยนี้มีวัตถุประสงค์เพื่อศึกษาการวัดค่าพารามิเตอร์ที่สัมพันธ์กับกระดูกหน้าผากของคนไทย แบ่งเป็นเพศชาย 66 ชิ้น เพศหญิง 34 ชิ้น โดยวัดพารามิเตอร์ 5 ค่า ได้แก่ Nasion-bregma arc (M26) Nasion-bregma cord (M29) Upper facial height (M48) Sagittal frontal index (I7a) Facial-bregma cord index (Fb index) ที่วัดด้วยโปรแกรม AutoCAD ผลการศึกษาพบว่าค่า Nasion-bregma arc (M26) Nasion-bregma cord (M29) Upper facial height (M48) ในเพศชายมีค่ามากกว่าเพศหญิงอย่างมีนัยสำคัญทางสถิติ ( $p < 0.05$ ) โดยค่าพารามิเตอร์ Upper facial height (M48) มีความสัมพันธ์ในระดับสูง ( $r = 0.605$ ) ในขณะที่ Nasion-bregma arc (M26) และ Nasion-bregma cord (M29) มีความสัมพันธ์ในระดับปานกลาง ( $r = 0.415$  และ  $0.396$  ตามลำดับ) เมื่อทำการวิเคราะห์ทางสถิติโดยใช้ logistic regression analysis ผลการศึกษาพบว่า สามารถตรวจเชิงลบได้ถูกต้องในเพศชายเกิน 90.9% และเพศหญิงเกิน 82.4% และตรวจเชิงบวกเกิน 88.0% จากผลการศึกษาค่าพารามิเตอร์ที่สัมพันธ์กับกระดูกหน้าผากครั้งนี้ มีค่าความถูกต้องในการท่านข้อเพศสูงมากกว่า 80.0% จึงเป็นอิทธิพลพารามิเตอร์ที่ถูกต้องในการท่านข้อเพศสูงของคนไทยต่อไป

**ค่าสำคัญ กระดูกหน้าผาก การระบุเพศ คนไทย วิธีการวัด**

### บทนำ

การระบุเพศจากโครงกระดูกบุชุยมีความสำคัญ สำหรับงานทางด้านนิติวิทยาศาสตร์ มนุษยวิทยาภายนอก เพื่อช่วยพิสูจน์บุญมุกดอกลางให้ตรงกับกระดูก โดยกระดูก pelvis เป็นกระดูกที่สามารถใช้ในการระบุเพศได้มากกว่า 95% [1] แต่หากงานว่ามีการแตกหัก จะไม่สามารถนำมาใช้ วัดค่าพารามิเตอร์ที่อยู่บนกระดูกได้ จึงมีความจำเป็นต้องเลือกกระดูกซึ่งอ่อนเพื่อใช้ระบุเพศแทน [2] กะโหลกศีรษะ (Skull) ที่เป็นอิฐส่วนหนึ่งที่มีข้อมูลมาศึกษาเนื่องด้วยเป็นกระดูกที่แข็งแรง คงสภาพอยู่ได้นานกว่าหลังการเสียชีวิต โดยทั่วไปลักษณะทางสัณฐานวิทยา (Morphology) ของกะโหลกศีรษะจะมีความแตกต่างกันระหว่างเพศชายและ

เพศหญิง โดยเฉพาะบริเวณกระดูกหน้าผาก (frontal bone) และกระดูกใบหน้า ที่บ่งบอกว่าในเพศชายจะมีลักษณะมีปุ่มบุบเพิ่ม สำหรับวิธีที่ใช้ศึกษา เพื่อระบุเพศจากโครงกระดูกจะใช้กล้องดูดสีสันฐาน วิทยานั้นมีอยู่ 2 วิธีหลักคือ การสังเกตด้วยตาเปล่า วิทยาศาสตร์ตามไปกับวิธีการวัดโดยใช้ vernier caliper และ สาขวัด ซึ่งวิธีการวัดโดยใช้สาขวัดอุปกรณ์จะเป็นวิธีที่มีความแม่นยำ [3,4] นอกเหนือนี้ในปัจจุบันยังได้มีการนำเทคโนโลยีดิจิทัล เข้ามาช่วยสำหรับการศึกษาวิจัยทางด้านนิติวิทยาศาสตร์ มนุษยวิทยาภายนอกด้วย

ด้านนักการวิจัยครั้งนี้ศูนย์จีบีจีมีความสนใจศึกษาการระบุเพศจากค่าพารามิเตอร์ที่สัมพันธ์กับกระดูก

การประชุมวิชาการเผยแพร่ผลงานวิจัยระดับบัณฑิตศึกษาแห่งชาติครั้งที่ 23  
ณ มหาวิทยาลัยเทคโนโลยีราชมงคลล้านนา ระหว่างวันที่ 23-24 ธันวาคม 2554

หน้า พฤษภาคม 2554 ได้รับการตีพิมพ์ในวารสาร AutoCAD ซึ่งเป็นโปรแกรมที่นำมาใช้ในงานทางด้านวิศวกรรมและสถาปัตยกรรม เพื่อนำมาประยุกต์ใช้ในงานทางด้านวิทยาศาสตร์กายวิภาค รวมทั้งน้ำค่าที่ได้นำมาใช้ในการคำนวณค่าความถูกต้องในการระบุพื้นที่ไป

#### ระเบียบวิธีการศึกษาวิจัย

ศึกษาภัยแล้วที่อ้างอิงจากหนังสือของไทยที่เก็บไว้ภายในห้องเก็บโครงกระดูกของภาควิชาภาษาศาสตร์ คณะแพทยศาสตร์ มหาวิทยาลัยเชียงใหม่ ซึ่งขั้นตอนการวิจัยได้ผ่านการพิจารณาโดยคณะกรรมการจริยธรรมการวิจัย คณะแพทยศาสตร์ มหาวิทยาลัยเชียงใหม่ แบ่งเป็นเพศชาย 66 ชิ้น เพศหญิง 34 ชิ้น โดยใช้โปรแกรม AutoCAD คำานวณเมตริกที่ศึกษาครั้งนี้ทั้งหมด 5 ค่า ซึ่งเป็นค่าที่อ้างอิงจาก Jorgensen [5] 4 ค่า ได้แก่ Nasion-bregma arc (M26) Nasion-bregma cord (M29) Upper facial height (M48) และ Sagittal frontal index (I7a) และเป็นหารานิเมตรที่กำหนดขึ้นมาใหม่ 1 ค่าซึ่งคิดเป็นรูปสามเหลี่ยม การศึกษาของ Sangvichien และคณะ [6] ที่ทำการศึกษา Upper facial height (M48) Nasion-bregma cord (M29) และ Nasion-bregma arc (M26) มีค่า  $p$  value ในกระบวนการวัดเพศชายและหญิงที่  $p < 0.001$   $p = 0.001$  และ  $p = 0.002$  ความสำคัญ ดังนี้ ค่า Facial-bregma cord index (Fb index) ที่กำหนดเป็นค่าหารานิเมตรใหม่ ซึ่งคัดเลือกค่า Upper facial height (M48) และ Nasion-bregma cord (M29) มาใช้ในการศึกษาครั้งนี้

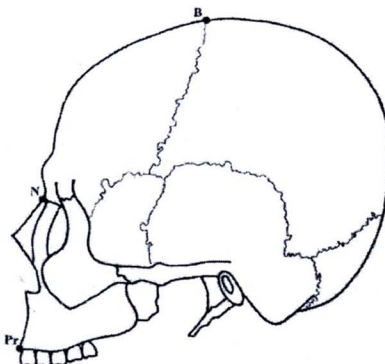
#### หารานิเมตรที่ใช้ในการศึกษา

1. ค่า Nasion-bregma arc (M26)
2. ค่า Nasion-bregma cord (M29)
3. ค่า Upper facial height (M48)

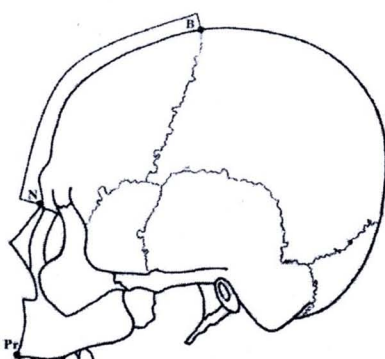
$$4. \text{ ค่า Sagittal frontal index (I7a)} = \frac{\text{Nasion-bregma cord (M29)} \times 100}{\text{Nasion-bregma arc (M26)}}$$

$$5. \text{ ค่า Facial-bregma cord index (Fb index)} = \frac{\text{Upper facial height (M48)} \times 100}{\text{Nasion-bregma cord (M29)}}$$

ในการวัดด้วยโปรแกรม AutoCAD ศึกษาโดยวางกะโหลกศีรษะ เพื่อดึงดูดจากด้านซ้ายของกะโหลกศีรษะ นำรูปที่ได้มาแก้หนาดจุดอ้างอิงในการวัด (รูปที่ 1) ใช้โปรแกรม AutoCAD ลากเส้นตามเงื่อนไขของแต่ละหารานิเมตร (รูปที่ 2-4) และบันทึกค่าที่ได้ลงบนแบบบันทึกเพื่อนำไปวิเคราะห์ทางสถิติใช้ *independent t-test* เพื่อเปรียบเทียบค่าที่วัดได้ระหว่างเพศชายและเพศหญิง ใช้ Pearson correlation coefficient เพื่อศึกษาหาความสัมพันธ์ระหว่างหารานิเมตรกับเพศ และใช้ logistic regression analysis เพื่อท่านนายแพทย์ระดับนักสำคัญเท่ากับ 0.05

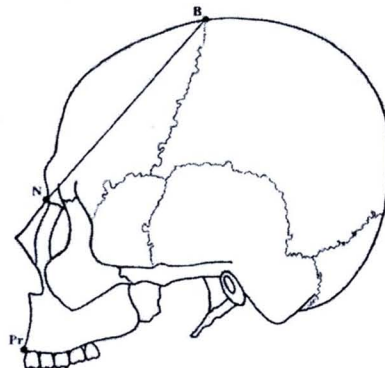


รูปที่ 1 จุดอ้างอิงที่ใช้ในการวัดโดยใช้โปรแกรม AutoCAD ได้แก่ Bregma (B) Nasion (N) และ Prosthion (Pr)

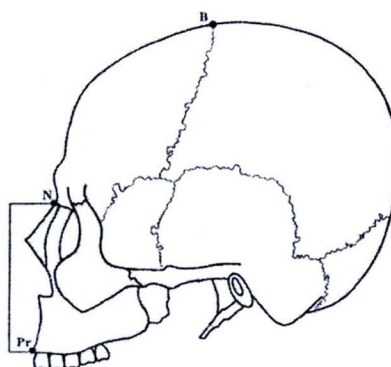


รูปที่ 2 แสดงวิธีการวัด Nasion-bregma arc (M26)

การประชุมวิชาการเสนอผลงานวิจัยระดับบัณฑิตศึกษาแห่งราชภัฏรัตนโกสินทร์ที่ 23  
ณ มหาวิทยาลัยเทคโนโลยีราชมงคลล้านนา ระหว่างวันที่ 23-24 ธันวาคม 2554



รูปที่ 3 แสดงวิธีการวัด Nasion-bregma cord (M29)



รูปที่ 4 แสดงวิธีการวัด Upper facial height (M48)

**ผลการศึกษาวิจัย**  
จากการทดสอบความแตกต่างเฉลี่ยระหว่างเพศชายและเพศหญิงของพารามิเตอร์ทั้ง 5 ค่า พนว่าค่าพารามิเตอร์ Nasion-bregma arc (M26) Nasion-bregma cord (M29) Upper facial height (M48) มีความแตกต่างกันอย่างมีนัยสำคัญทางสถิติ แต่ค่าพารามิเตอร์ Sagittal frontal index (I7a) และ Facial-bregma cord index (Fb index) ไม่มีความแตกต่างกันอย่างมีนัยสำคัญ ( $p < 0.05$ ) ดังแสดงในตารางที่ 1

ตารางที่ 1 ค่า Mean และ S.D. ของกะโหลกศีรษะเพศชายและเพศหญิง

Parameters	Sex	N	Mean	S.D.	$p$ value
Nasion-bregma arc (M26)	Male	66	131.35	8.35	0.000
	Female	34	123.88	6.73	
Nasion-bregma cord (M29)	Male	66	108.88	7.46	0.000
	Female	34	103.10	3.50	
Sagittal frontal index (I7a)	Male	66	83.01	5.18	0.533
	Female	34	83.66	4.75	
Upper facial height (M48)	Male	66	67.83	3.35	0.000
	Female	34	62.96	2.43	
Facial-bregma cord index (Fb index)	Male	66	62.58	5.85	0.124
	Female	34	61.15	3.36	

เมื่อทำการศึกษาหาความสัมพันธ์ระหว่างพารามิเตอร์ 5 ค่า พนว่าค่าพารามิเตอร์ Upper facial height (M48) มีความสัมพันธ์ในระดับสูง ( $r = 0.605$ ) ค่า Nasion-bregma arc (M26) และ Nasion-bregma cord (M29) มีความสัมพันธ์ในระดับปานกลาง ( $r = 0.415$  และ  $0.396$  ตามลำดับ) กับเพศชายมีนัยสำคัญ ดังตารางที่ 2

ตารางที่ 2 ค่าความสัมพันธ์ ( $r$ ) ระหว่างพารามิเตอร์กับเพศ ( $p < 0.01$ )

	Sex	M26	M29	I7a	M48	Fb index
Pearson	1	.415**	.396**	-.061	.605**	.132
Correlation						
Sex	Sig.					
	(2-tailed)					
	N	100	100	100	100	100

\*\* Correlation is significant at the 0.01 level (2-tailed)

\* Correlation is significant at the 0.05 level (2-tailed)

ในการวิเคราะห์ค่าความถูกต้องในการระบุเพศโดยใช้ Logistic regression analysis พบว่า พารามิเตอร์ที่ถูกคัดเลือกเข้าสู่สมการมี 2 ค่า คือ Nasion-bregma cord (M29) และ Upper facial height (M48) ดังแสดงในตารางที่ 3

ตารางที่ 3 ค่าพารามิเตอร์ที่ถูกจัดในสมการโดย logistic regression analysis

Variables in the Equation						
	B	S.E.	Wald	df	Sig.	Exp. (B)
Step 2 <sup>a</sup>	M29	.165	.053	9.720	1	.002
	M48	.480	.100	23.015	1	.000
	Constant	-47.964	9.729	24.305	1	.000

a. Variable(s) entered on step 1: m29, m26, m48.

จากตารางสามารถน้ามาร่วมสมการเพื่อคำนวณเพื่อได้คือ

$$Y = (-47.964) + 0.480(M48) + 0.165(M29)$$

จากนั้นนำค่า Y ที่ได้ไปแทนค่าในสูตร

$$P(\text{เกิดเหตุการณ์}) = \frac{1}{1 + e^{-Y}} \quad \text{โดยที่ } e = 2.718$$

หากค่าที่คำนวณได้มีค่ามากกว่า 0.5 จะคำนวณว่า กระดูกซึ่นที่น้ามาศึกษาเป็นเพศชาย แต่หากน้อยกว่า 0.5 แสดงว่าเป็นเพศหญิง โดยสมการนี้สามารถถอดรูปแบบของกระดูกทั้ง 90.9% เพศชาย 82.4% และถูกต้องโดยรวม 88.0% ดังแสดงในตารางที่ 4

ตารางที่ 4 ค่าความถูกต้องในการระบุเพศ

Sex	Male		Female		Overall
	N	(%)	N	(%)	
Male	60/66	90.9	6/66	9.1	
Female	6/34	17.6	28/34	82.4	88.0

#### การอธิบายผล

การศึกษาครั้นนี้พบว่าค่าพารามิเตอร์ที่สัมพันธ์กับกระดูกหน้าผากที่วัดได้ของคนไทยมีความแตกต่างกันระหว่างเพศชายและเพศหญิง ซึ่งมาจากผลลัพธ์ที่เก็บข้อมูลที่ต้องคำนึงถึงเพศของมนุษย์ ซึ่งเป็นข้อจำกัดของการเพิ่มขนาดกระดูกและมวลกล้ามเนื้อ [8] สำหรับการศึกษาครั้นนี้ค่าเฉลี่ยที่วัดได้จาก Nasion-bregma arc (M26) Nasion-bregma cord (M29) Sagittal frontal index (I7a) Upper facial

height (M48) ของคนไทยเพศชายมีค่ามากกว่าเพศหญิง เช่นกัน สอดคล้องกับการศึกษาของ Sangvichien และคณะ ซึ่งได้ศึกษาในคนไทยภาคกลาง [6] และ Rooppakhan และคณะ ศึกษาในภาคตะวันออกเฉียงเหนือของไทย [9] ทั้งนี้เนื่องจากบริเวณกระดูกหน้าผากในเด็กอายุต่ำกว่า 10 ปี ที่น้ำหนักกระดูกหน้าผากน้ำหนักต่ำกว่ากระดูกในเด็กอายุต่ำกว่า 10 ปี ทำให้เพศชายมีการเจริญพัฒนาได้ดีกว่าเพศหญิง [10] ทำให้เพศชายมี frontal sinus ใหญ่กว่าเพศหญิง [11, 12] และส่องผลให้ค่าพารามิเตอร์ที่ใช้ในการศึกษาครั้นนี้มีความแตกต่างกันระหว่างเพศทั้งสอง

เมื่อทำการศึกษาค่าความสัมพันธ์กันของค่าพารามิเตอร์ดังกล่าวกับเพศที่แสดงผลสอดคล้องกัน โดยพบว่าต่ำลงความช่วงของกระดูกมีความสัมพันธ์เชิงบวก กับเพศ โดย Upper facial height (M48) มีความสัมพันธ์ในระดับสูง Nasion-bregma arc (M26) และ Nasion-bregma cord (M29) มีความสัมพันธ์ในระดับปานกลาง [13] ดังนั้น เมื่อนำกระดูกที่ต้องการระบุเพศมาถ่วงด้วยค่าตั้งแต่ตัวจริง ความยาวมากเมื่อนำกระดูกเพศชายมาวัดและมีความยาวน้อยกว่าเมื่อวัดในเพศหญิง และสามารถวิเคราะห์ค่าความถูกต้องในการระบุเพศโดยใช้ logistic regression analysis ระบุเพศได้ถูกต้อง 90.9% เพศชาย 82.4% และโดยรวมทั้งสองเพศ 88.0% ซึ่งแสดงให้เห็นว่าค่าพารามิเตอร์ที่สัมพันธ์กับกระดูกหน้าผากที่น้ามาใช้ในการศึกษาครั้นนี้สามารถน้ามาใช้ศึกษาเพื่อระบุเพศได้และมีค่าความถูกต้อง 90.0% จึงควรนำมาพิจารณาเป็นค่าพารามิเตอร์ที่ช่วยในการระบุเพศเพื่อประโยชน์ทางนิติวิทยาศาสตร์และนานาภัยวิทยาภายนอกต่อไป

#### สรุปผลการศึกษาวิจัย

การศึกษาวัดค่าพารามิเตอร์ที่สัมพันธ์กับกระดูกหน้าผากครั้นนี้ มีค่าความถูกต้องในการท่านายเพศสูง ซึ่งเป็นอีกทางเลือกหนึ่งที่ควรนำมาประยุกต์ใช้ในการระบุเพศของคนไทย และประยุกต์วิธีการศึกษาเพื่อใช้ในกระดูกส่วนอื่นๆ ต่อไป

การประชุมวิชาการเผยแพร่ผลงานวิจัยระดับบัณฑิตศึกษาและขาติดรั้งที่ 23  
ณ มหาวิทยาลัยเทคโนโลยีราชมงคลธัญบุรี ระหว่างวันที่ 23-24 มิถุนายน 2554

### กิตติกรรมประกาศ

ขอขอบพระคุณอาจารย์ใหญ่ ผู้อธิการ่วมกิจเพื่อ  
การศึกษาวิชาความรู้ ขอขอบพระคุณศาสตราจารย์พิเศษ  
นายแพทย์สรรจ์ แสงวิเชียร ที่ให้คำแนะนำเกี่ยวกับ  
พารามิเตอร์ที่ใช้ในการศึกษาครั้งนี้ ขอขอบคุณนักวิจัย  
ที่มาอภิปราย นำเสนอเรื่องที่น่าสนใจ ที่สนับสนุนทุกๆ หัวข้อใน  
การเสนอผลงานวิชาการ และขอขอบคุณห้องปฏิบัติการ  
วิจัย ภาควิชาภาษาอังกฤษ สำหรับการอธิบายห้องทดลอง  
ในการศึกษาวิจัย

### เอกสารอ้างอิง

- [1] W. M. Krogman, and M. Y. Iscan, "The human skeleton in forensic medicine", Springfield, IL, Charles C, 1986.
- [2] A. Kemkes-Grottenthaler, "Sex determination by discriminant analysis: an evaluation of the reliability of patella measurements", Forensic Sci Int. 147 (2005), 129-33.
- [3] E.K. Kranioti, M. Y. Iscan, and M. Michalodimitrakis, "Craniometric analysis of the modern Cretan population", Forensic Sci. Int. 180 (2008), e1-e5.
- [4] C. Manoel, F. Prado, P. Caria, and F. Groppo, "Morphometric analysis of the foramen magnum in human skulls of brazilian individuals: its relation to gender", Braz. J. Morphol. Sci. 26 (2009) 104-108.
- [5] J.B. Jorgensen. "Anthropometric and Anthroposcopic Technique", Copenhagen, 1986 10-15.
- [6] S. Sangvichien, K. Boonkaew, A. Chauncarunee, C. Komoltri, P. Piyawinitwong, A. Wongsawut, and S. Namwongs, "Sex determination in Thai skulls by using craniometry: multiple logistic regression analysis", Siriraj Med J. 59 (2007), 216-221.
- [7] J.R. Camargo, E. Daruge, F.B. Prado, P.H.F. Caria, M.C .Alves, R.F. Silva, and Jr. Daruge, "The frontal sinus morphology in radiographs of Brazilian subjects: its forensic importance", Braz. J. Morphol. Sci. 24 (2007) 239-243.
- [8] E. Osunwoke, F.Amah-Tariah, O. Obia, I. Ekere, and O. Ede, "Sexual Dimorphism in Facial Dimensions of the Bini's of South-Southern Nigeria", Asian J. Med. Sci. 3 (2011) 71-73.
- [9] S. Rooppakhun, S. Piyasin, N. Vatanapatumakul, Kaewprom Y, and K. Sitthiseripratip, "Craniometric study of Thai skull based on three-dimensional computed tomography (CT) data", J. Med. Assoc. Thai. 93 (2011), 90-98.
- [10] P. Nambiar, M.D. Naidu, and K. Subramaniam, "Anatomical variability of the frontal sinus and their application in forensic identification" Clin. Anat. 12 (1999), 29-32.
- [11] K.R. Patil, and R.N. Mody, "Determination of the sex by discriminant function analysis and stature by regression analysis:a ateral cephalometric study" Forensic Sci. Int. 147 (2005), 175-180.
- [12] H. Gray, "Anatomy of the human body" 27<sup>th</sup> edition, Philadelphia: Lea & Febiger, 1918.
- [13] J. Cohen, "Statistical power analysis for the behavioral sciences" 2<sup>nd</sup> edition. New Jersey: Lawrence Erlbaum, 1988.



